

荷重板を通して局部荷重をうける補強パイプの応力解析

東大工学部 正員 奥村敏惠
 埼玉大学理工学部 正員 ○秋山成興
 首都高速道路公団 正員 西野祐治郎

1. まえがき

ラーメン隅角部構造の1タイプとして、円柱一箱形(リブ)がひじょうに多く用いられていらるが、これを取りあつかった論文はきわめて少ない。[1], [2]

これらは、いずれも、各部材の相互作用をパイプの有効巾であきかえて、実用計算公式を提案したものである。

本研究では、このような従来の方法とは異なり、2次元応力状態より出発して microscopic に解析しようとするものである。まず予備研究として、図1に示す構造を取りあげる。

これは箱形リブ(ウェブ)による応力伝達を無視したものであり、このタイプの研究には[3]があるが、荷重板に対する解析が不十分であり、本研究はこの点を修正したものである。

2. 解析の方法

各部の相互作用は、いかゆる接合条件によって、あります。まず、まえがきでも述べたように、薄板構造と考え、2次元応力状態と仮定する。

各構成部材に分割して、独立に各部材に対する解を求める、各部材の接合線上で、応力、変形が連続であるという接合条件を用いて、積分常数を決める。

各部材に作用する荷重は、Self-equilibrating & non-self-equilibrating の荷重に分けて考えるのが便利であり、この方針に従がう。

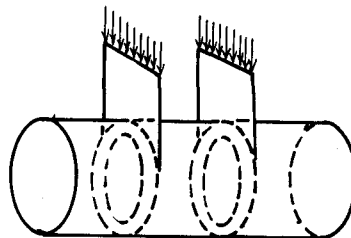


図-1

3. パイプの解

パイプの軸方向応力を T_1 、周方向応力を T_2 、面内せん断応力を S 、として、それぞれの方向における曲率変化、ねじり率変化を、 K_1 , K_2 , C とする。

今 $\tilde{T}_1 = \tilde{T}_{1,k} \cos k\theta$, $\tilde{T}_2 = \tilde{T}_{2,k} \cos k\theta$, $\tilde{S} = \tilde{S}_k \sin k\theta$

$\tilde{T}_1 = T_1 + i E h c K_2$, $\tilde{T}_2 = T_2 + i E h c K_1$, $\tilde{S} = S - i E h c C$, $C = \frac{h}{\sqrt{12(1-\nu^2)}}$ とすれば。

self-equilibrating loads に対しては、

$$\tilde{T}_{1,k} = \sum_{j=1,3} \tilde{C}_j \left(1 - i \frac{\alpha_j^2 - k^2}{2h^2}\right) \tilde{C}_j e^{-\alpha_j(\xi_1 - j)} + \sum_{j=2,4} \left(1 - i \frac{\alpha_j^2 - k^2}{2h^2}\right) \tilde{C}_j e^{-\alpha_j(\xi_2 - j)}$$

$$\tilde{T}_{2,k} = \frac{i}{2h^2} \left\{ \sum_{j=1,3} (\alpha_j^2 - k^2) \tilde{C}_j e^{-\alpha_j(\xi_1 - j)} + \sum_{j=2,4} (\alpha_j^2 - k^2) \tilde{C}_j e^{-\alpha_j(\xi_2 - j)} \right\}$$

$$\tilde{S}_{jk} = \frac{1}{k} \left\{ \sum_{j=1,3} \alpha_j \left(i \frac{\omega_j^2 - k^2}{2\omega^2} - 1 \right) \tilde{C}_j e^{-\omega_j(\frac{j}{k} - \frac{1}{2})} + \sum_{j=4,6} \alpha_j \left(i \frac{\omega_j^2 - k^2}{2\omega^2} - 1 \right) \tilde{C}_j e^{-\omega_j(\frac{j}{k} - \frac{1}{2})} \right\}$$

$\therefore \text{7"}$

$$\alpha_1 = \frac{1}{\sqrt{2}} \left(\sqrt{m_1^2 + n_1^2} + m_1 - i \sqrt{m_1^2 + n_1^2} - m_1 \right), \quad \alpha_2 = -\alpha_1$$

$$\alpha_3 = \frac{1}{\sqrt{2}} \left(\sqrt{m_2^2 + n_2^2} + m_2 - i \sqrt{m_2^2 + n_2^2} - m_2 \right), \quad \alpha_4 = -\alpha_3$$

$$m_1 = k^2 - b^2 \frac{\sqrt{1+4k^4/b^4} - 1}{\sqrt{2}}, \quad m_2 = k^2 + b^2 \frac{\sqrt{1+4k^4/b^4} - 1}{\sqrt{2}}$$

$$n_1 = b^2 \left(1 - \frac{\sqrt{1+4k^4/b^4} + 1}{\sqrt{2}} \right), \quad n_2 = b^2 \left(1 + \frac{\sqrt{1+4k^4/b^4} + 1}{\sqrt{2}} \right), \quad 2b^2 = \frac{r_0}{c}$$

non-self-equilibrating load の場合、 $k=1$ の場合と比較して、この場合、局部曲げの解。

$$\alpha = \alpha_1 + i \alpha_2, \quad \alpha_1 = \pm \sqrt{\sqrt{1+b^4} + 1}, \quad \alpha_2 = \frac{\mp \sqrt{\sqrt{1+b^4} + 1} (\sqrt{1+b^4} - 1)}{b^2}$$

複号同順

をとる。

4. 1" : 7" の解 (7" 1" と 7" 3" の解)

A. 外径 R の円形 1" : 7" の self-equilibrating load の解をとる。

B. 外周剛性 L、遮れ率 $P' \cos n\theta$ 、 $P'' \cos n\theta$ の各方向荷重が作用する場合の解。

$$\begin{aligned} \sigma_r &= \left[\left\{ (2-n) - (1-n) \frac{a^2}{r^2} - \frac{a^{2n+2}}{r^{2n+2}} \right\} A_n r^n + \left\{ (2+n) + (1+n) \frac{a^2}{r^2} - \frac{a^{-2n+2}}{r^{2n+2}} \right\} A_{-n} r^{-n} + \right. \\ &\quad \left. + \frac{P'}{2} \left(\frac{r^{n-2}}{a^{n-2}} + \frac{a^{n+2}}{r^{n+2}} \right) \right] \cos n\theta \\ \sigma_\theta &= \left[\left\{ (2+n) + (1-n) \frac{a^2}{r^2} + \frac{a^{2n+2}}{r^{2n+2}} \right\} A_n r^n + \left\{ (2-n) + (1+n) \frac{a^2}{r^2} + \frac{a^{-2n+2}}{r^{2n+2}} \right\} A_{-n} r^{-n} - \right. \\ &\quad \left. - \frac{P'}{2} \left(\frac{r^{n-2}}{a^{n-2}} + \frac{a^{n+2}}{r^{n+2}} \right) \right] \cos n\theta \end{aligned}$$

$$\begin{aligned} \sigma_\theta &= \left[\left\{ n + (1-n) \frac{a^2}{r^2} - \frac{a^{2n+2}}{r^{2n+2}} \right\} A_n r^n + \left\{ n - (1+n) \frac{a^2}{r^2} + \frac{a^{-2n+2}}{r^{2n+2}} \right\} A_{-n} r^{-n} - \right. \\ &\quad \left. - \frac{P'}{2} \left(\frac{r^{n-2}}{a^{n-2}} - \frac{a^{n+2}}{r^{n+2}} \right) \right] \sin n\theta \end{aligned}$$

$$\frac{b}{a} = \lambda, \quad \Delta = (1-n^2)(\lambda^2 - 1)^2 - (a^{2n+2} - 1)(a^{-2n+2} + 1)$$

$$A_n = \frac{1}{\Delta} \left[((1+n)(\lambda^2 - 1)) \left(\frac{P''}{2} \lambda^{-n+2} - \frac{P'}{2} \right) - (\lambda^{-n+2} - 1) \left(\frac{P''}{2} \lambda^{n+2} - \frac{P'}{2} \right) \right] a^{-n}$$

接線方向荷重 $q' \sin n\theta$, $q'' \sin n\theta$ が作用する場合。

$$\begin{aligned} \sigma_r &= \left[\left\{ (2-n) - (1-n) \frac{a^2}{r^2} - \frac{a^{2n+2}}{r^{2n+2}} \right\} A'_n r^n + \left\{ (2+n) - (1+n) \frac{a^2}{r^2} - \frac{a^{-2n+2}}{r^{2n+2}} \right\} A'_{-n} r^{-n} - \right. \\ &\quad \left. - \frac{q'}{2} \left(\frac{r^{n-2}}{a^{n-2}} - \frac{a^{n+2}}{r^{n+2}} \right) \right] \cos n\theta \end{aligned}$$

$$\sigma_r = \left\{ \left((2+n) + (1-n) \frac{a^2}{r^2} + \frac{a^{2n+2}}{r^{2n+2}} \right) A'_n r^n + \left\{ (2-n) + (1+n) \frac{a^2}{r^2} + \frac{a^{-2n+2}}{r^{-2n+2}} \right\} A' - n r^{-n} + \right. \\ \left. + \frac{g'}{2} \left(\frac{r^{n-2}}{a^{n-2}} - \frac{a^{n+2}}{r^{n+2}} \right) \right\} \cos n\theta \\ T_{ro} = \left\{ \left(n + (1-n) \frac{a^2}{r^2} - \frac{a^{2n+2}}{r^{2n+2}} \right) A'_n r^n + \left\{ n - (1+n) \frac{a^2}{r^2} + \frac{a^{-2n+2}}{r^{-2n+2}} \right\} A' - n r^{-n} + \right. \\ \left. + \frac{g'}{2} \left(\frac{r^{n-2}}{a^{n-2}} + \frac{a^{n+2}}{r^{n+2}} \right) \right\} \sin n\theta \\ A'_n = \frac{1}{\Delta} \left[((1+n)(\lambda^2-1)) \left(-\frac{g''}{2} \lambda^{-n+2} + \frac{g'}{2} \right) - (\lambda^{-2n+2}-1) \left(\frac{g''}{2} \lambda^{n+2} - \frac{g'}{2} \right) \right] a^{-n}$$

5. 偏心ラムースモデルの解

偏心ラムースモデルは、円形荷重を考慮して計算する。self-equilibrating の場合だけを考えればよいので、曲げモーメント M、引張り T は、次のようになります。

$$垂直荷重 P_m \cos m\theta \quad (m \geq 2)$$

$$M = - \sum_{m=2}^{\infty} \frac{a^2 P_m}{m^2 - 1} \cos m\theta, \quad T = \sum_{m=2}^{\infty} \frac{a P_m}{m^2 - 1} \cos m\theta$$

$$接線荷重 g_m \sin m\theta \quad (m \geq 2)$$

$$M = - \sum_{m=2}^{\infty} \frac{a^2 g_m}{m(m^2 - 1)} \cos m\theta, \quad T = \sum_{m=2}^{\infty} \frac{a m g_m}{m^2 - 1} \cos m\theta$$

6. 荷重板の解

荷重板は半扇形領域を考えて、解を求める。あとでこれを修正する。

I、II の応力状態に対する、各応力成分は、

次のようになります。

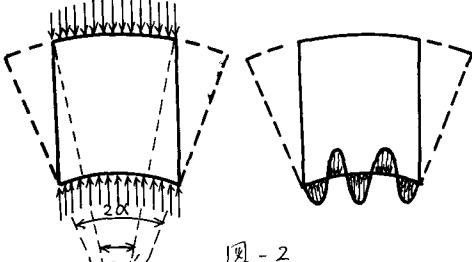


図-2

$$\sigma_r = \frac{a_0}{r^2} + C_0 (1 + 2 \ln r) + \\ + \sum_{n=1}^{\infty} \left\{ -\frac{n\pi}{2d} \left(\frac{n\pi}{2d} - 1 \right) A_n r^{-\frac{n\pi}{2d} - 2} - \right. \\ \left. - \frac{n\pi}{2d} \left(\frac{n\pi}{2d} + 1 \right) C_n r^{-\frac{(n\pi+2)}{2d}} - \left(\frac{n\pi}{2d} - 2 \right) \left(\frac{n\pi}{2d} + 1 \right) \ln r^{-\frac{n\pi}{2d}} - \left(\frac{n\pi}{2d} + 2 \right) \left(\frac{n\pi}{2d} - 1 \right) d \ln r^{-\frac{n\pi}{2d}} \right\} \cos \frac{n\pi}{2d} \theta$$

$$\sigma_\theta = -\frac{a_0}{r^2} + C_0 (3 + 2 \ln r) + \sum_{n=1}^{\infty} \left\{ \frac{n\pi}{2d} \left(\frac{n\pi}{2d} - 1 \right) A_n r^{\frac{n\pi}{2d} - 2} + \left(\frac{n\pi}{2d} + 2 \right) \left(\frac{n\pi}{2d} + 1 \right) \ln r^{\frac{n\pi}{2d}} + \right. \\ \left. + \frac{n\pi}{2d} \left(\frac{n\pi}{2d} + 1 \right) C_n r^{-\frac{n\pi}{2d} - 2} + \left(\frac{n\pi}{2d} - 2 \right) \left(\frac{n\pi}{2d} - 1 \right) d \ln r^{-\frac{n\pi}{2d}} \right\} \cos \frac{n\pi}{2d} \theta$$

$$T_{ro} = \sum_{n=1}^{\infty} \frac{n\pi}{2d} \left\{ \left(\frac{n\pi}{2d} - 1 \right) \left(A_n r^{\frac{n\pi}{2d} - 2} - d \ln r^{-\frac{n\pi}{2d}} \right) - \left(\frac{n\pi}{2d} + 1 \right) \left(C_n r^{-\frac{(n\pi+2)}{2d}} - d \ln r^{\frac{n\pi}{2d}} \right) \right\} \sin \frac{n\pi}{2d} \theta$$

I の荷重 P を $\cos \frac{n\pi}{2d} \theta$, $\sin \frac{n\pi}{2d} \theta$ として展開して、各係数を上記の応力成分の係数と等置する。しかし、このようにして求めた、応力状態は直線線上の stress free の境界条件を満足しないので、これを満足させるために、次の応力を重ね合わせる。

$$\sigma_r = \sum_{n=1}^{\infty} e^{-\frac{n\pi}{lub/a}\theta} \left(\left\{ 2 + \left(\frac{n\pi}{lub/a}\right)^2 \right\} \left\{ Ax \sin\left(\frac{n\pi \ln r/a}{lub/a}\right) + Bx \cos\left(\frac{n\pi \ln r/a}{lub/a}\right) + \right. \right. \\ \left. \left. + \frac{n\pi}{lub/a} \right\} \left\{ An \cos\left(\frac{n\pi \ln r/a}{lub/a}\right) - Bn \sin\left(\frac{n\pi \ln r/a}{lub/a}\right) \right\} \right)$$

$$\sigma_\theta = \sum_{n=1}^{\infty} e^{-\frac{n\pi}{lub/a}\theta} \left[\left\{ 2 - \left(\frac{n\pi}{lub/a}\right)^2 \right\} \left\{ An \sin\left(\frac{n\pi \ln r/a}{lub/a}\right) + Bn \cos\left(\frac{n\pi \ln r/a}{lub/a}\right) + \right. \right. \\ \left. \left. + \frac{3n\pi}{lub/a} \right\} \left\{ An \cos\left(\frac{n\pi \ln r/a}{lub/a}\right) - Bn \sin\left(\frac{n\pi \ln r/a}{lub/a}\right) \right\} \right]$$

$$T_{r\theta} = \sum_{n=1}^{\infty} \frac{n\pi}{lub/a} e^{-\frac{n\pi}{lub/a}\theta} \left(An \sin\left(\frac{n\pi \ln r/a}{lub/a}\right) + Bn \cos\left(\frac{n\pi \ln r/a}{lub/a}\right) + \right. \\ \left. + \frac{n\pi}{lub/a} \right\} \left\{ An \cos\left(\frac{n\pi \ln r/a}{lub/a}\right) - Bn \sin\left(\frac{n\pi \ln r/a}{lub/a}\right) \right\}]$$

直線線上の境界条件は、これらの応力によっても、厳密に満足することはできないので、3.7.7 discrete で n 個の式を導び、この式上で

$$\sigma_z = \sigma_r \cos \theta + \sigma_\theta \sin^2 \theta - T_{r\theta} \sin 2\theta = 0, \quad T_{rz} = \frac{1}{2} (\sigma_r - \sigma_\theta) \sin 2\theta + T_{r\theta} \cos 2\theta = 0$$

が成立します。(2n 個の条件式が得られます。)

7. 接合条件

荷重板(I)、パーセル(II)、ダイヤフラム(III)の間の接合条件を求める。

変形の連続条件は次のようになります。今 translational displacement vector をそれぞれ、 \vec{U}^I 、 \vec{U}^{II} 、rotation vector を $\vec{\omega}_t^I$ 、 $\vec{\omega}_t^{II}$ と表わすと、

$$\frac{d\vec{U}^I}{ds_t} = \frac{d\vec{U}^{II}}{ds_t} = - \left\{ \varepsilon_{tt}^I \vec{t}^I + [\vec{\omega}_t^I, \vec{t}^I] \right\} = \varepsilon_{tt}^{II} \vec{t}^{II} + [\vec{\omega}_t^{II}, \vec{t}^{II}]$$

しかも $\vec{t}^I = -\vec{t}^{II}$ であるから、 $\varepsilon_{tt}^I = \varepsilon_{tt}^{II}$ 、 $(\vec{\omega}_t^I - \vec{\omega}_t^{II}, \vec{t}) = 0$

今 $\vec{\omega}_t = \vec{\omega}_t^I = \vec{\omega}_t^{II}$ とすると、 $\vec{t} \frac{d\vec{\omega}_t}{ds_t}$ は invariant である。

$$-K_{tt}^I \nu^I t^I + K_{tv}^I t^I \vec{t}^I - K_{tn}^I n^I t^I = -K_{tt}^{II} \nu^{II} t^{II} + K_{tv}^{II} t^{II} \vec{t}^{II} - K_{tn}^{II} n^{II} t^{II}$$

$$= -K_{tt}^I (-\nu^I) (-\vec{t}^I) + K_{tv}^I (-\vec{t}^I) (-\vec{t}^I) - K_{tn}^I (-\nu^I) (-\vec{t}^I)$$

両方の成分を比較して $\varepsilon_{tt}^I = \varepsilon_{tt}^{II}$ 、 $K_{tt}^I = K_{tn}^{II}$ 、 $K_{tv}^I = K_{tv}^{II}$ 、 $K_{tn}^I = K_{tt}^{II}$

同様にして $\varepsilon_{tt}^I = \varepsilon_{tt}^{II}$ 、 $K_{tt}^I = K_{tt}^{II}$ 、 $K_{tv}^I = K_{tv}^{II}$ 、 $K_{tn}^I = K_{tn}^{II}$

接合線上の測地曲率変化 K_{tn} (2.5.4 によって、次のように表わされます)。

$$K_{tn}^I = \frac{-1}{a} \left(\frac{\partial w^I}{\partial \theta} - \frac{\partial \varepsilon_{tt}^I}{\partial \xi} + \varepsilon_{vv}^I - \varepsilon_{tt}^I \right), \quad K_{tn}^{II} = \frac{-1}{a} \left(\frac{\partial w^{II}}{\partial \theta} - \frac{\partial \varepsilon_{tt}^{II}}{\partial \xi} + \varepsilon_{vv}^{II} - \varepsilon_{tt}^{II} \right)$$

さらに応力連続条件を用いて、積分常数を定めることができ、応力が求められる。

- 文献 [1] 奥村、前田、石川：最近におけるラーメン構造の隅角部 エネルギ会誌 49巻-11号
 [2] 奥村、石川：薄板構造ラーメン隅角部の応力計算について エネルギ会誌論文集 153号
 [3] 奥村、秋山、樊：パイプビームが局部荷重をうけた場合のダイヤフラムの補強効果
 について 第14回構造・構造工学研究発表会 PP.109~121